

粉末 Ti-22Al-24Nb-0.5Mo 合金热变形能力的  
对比研究\*

卢正冠 吴杰 徐磊 卢斌 雷家峰 杨锐

(中国科学院金属研究所 沈阳 110016)

**摘要** 采用预合金粉末热等静压工艺制备名义成分为 Ti-22Al-24Nb-0.5Mo(原子百分数)的粉末 Ti<sub>2</sub>AlNb 合金,对粉末合金、经热处理的粉末合金和同种成分的熔铸 Ti<sub>2</sub>AlNb 合金进行了压缩实验。结果表明,粉末 Ti<sub>2</sub>AlNb 合金具有与熔铸合金相当的变形能力,热处理对粉末 Ti<sub>2</sub>AlNb 合金的变形能力没有明显的影响,粉末合金在低温和高应变速率下的变形抗力更低,不易开裂。采用典型粉末成型工艺制备粉末 Ti<sub>2</sub>AlNb 热变形坯料,在两相区进行了不同变形量的墩粗和拔长热变形。结果表明,粉末 Ti<sub>2</sub>AlNb 坯料变形后没有宏观裂纹,变形均匀。拉伸实验结果表明,变形后经热处理的粉末 Ti<sub>2</sub>AlNb 合金表现出更好的拉伸性能。

**关键词** 金属材料, Ti<sub>2</sub>AlNb 合金, 粉末冶金, 热等静压, 热机械加工

**分类号** TG146

**文章编号** 1005-3093(2015)06-0445-08

Comparative Study on Hot Workability of Powder  
Metallurgy Ti-22Al-24Nb-0.5Mo Alloy

LU Zhengguan WU Jie XU Lei\*\* LU Bin LEI Jiafeng YANG Rui

(Institute of Metal Research, Chinese Academy of Sciences, Shenyang 110016, China)

\*Supported by National High Technology Research and Development Program of China No. 2013AA031606.

Manuscript received March 23, 2015; in revised form April 15, 2015.

\*\*To whom correspondence should be addressed, Tel: (024) 83978843, E-mail: lxu@imr.ac.cn

**ABSTRACT** Powder metallurgy (PM) Ti<sub>2</sub>AlNb alloy of Ti-22Al-24Nb-0.5Mo (atomic fraction, %) was prepared from pre-alloyed powder using hot isostatic pressing (HIPing). Compression tests of PM Ti<sub>2</sub>AlNb alloy, heat treated PM Ti<sub>2</sub>AlNb alloy and wrought Ti<sub>2</sub>AlNb alloy with the same chemical composition were conducted on Gleeble-3800 testing machine. The testing temperatures were from 930°C to 1050°C, strain rates varied from 0.001 s<sup>-1</sup> to 10 s<sup>-1</sup>, and engineering strain was about 50% for each compression. The results show that the deformability of PM Ti<sub>2</sub>AlNb alloy is comparable to that of wrought alloy, and heat treatment has no obvious effect on the hot workability of PM Ti<sub>2</sub>AlNb alloy. The high temperature flow behavior of Ti<sub>2</sub>AlNb alloys prepared by different fabrication routes is similar in this work, while processing windows for PM Ti<sub>2</sub>AlNb alloy is broader than casting alloys especially at low temperature or relative high strain rate. PM Ti<sub>2</sub>AlNb billets for hot deformation were prepared by a typical powder metallurgy process, and were upset or drawn out to different deformation in two-phase region. Macrostructure of deformed PM Ti<sub>2</sub>AlNb billets were observed, no macro crack was found in deformed PM Ti<sub>2</sub>AlNb billets and the deformation was uniform. The results of tensile tests show that the deformed PM Ti<sub>2</sub>AlNb alloy after heat treatment presents better tensile properties.

**KEY WORDS** metallic materials, Ti<sub>2</sub>AlNb alloys, powder metallurgy, hot isostatic pressing, thermal mechanical processing

Ti<sub>2</sub>AlNb 合金具有良好的高温强度和较低的密度,越来越受到材料设计者的关注,是有望取代镍基高温合金的轻质材料之一<sup>[1-3]</sup>。Ti<sub>2</sub>AlNb 构件的制备

方式主要是铸锭锻造,针对 Ti<sub>2</sub>AlNb 热变形行为的研究对象也大多集中在熔铸 Ti<sub>2</sub>AlNb 合金<sup>[4-7]</sup>。这些基于 Gleeble 压缩实验的研究对熔铸 Ti<sub>2</sub>AlNb 的锻造工艺选择有良好的参考作用,但是 Ti<sub>2</sub>AlNb 合金在熔炼中各组分分布不均匀,容易产生成分宏观偏析、缩孔、疏松等铸造缺陷,难以彻底避免。

采用粉末冶金热等静压工艺制备 Ti<sub>2</sub>AlNb 合金

\* 国家高技术研究发展计划 2013AA031606 资助项目。  
2015 年 3 月 23 日收到初稿; 2015 年 4 月 15 日收到修改稿。  
本文联系人: 徐磊

可避免传统铸造中的缺陷,得到组织更加均匀、性能更加稳定的合金或构件坯料,且尺寸控制优于铸造合金<sup>[8-10]</sup>。同时,用粉末冶金热等静压成型的合金或构件内部有一些孔隙<sup>[11,12]</sup>,而热机械处理通常能愈合合金中的一些微小缺陷,这在粉末GH4169合金中已经得到了应用<sup>[13]</sup>。但是目前国内尚无钛合金或Ti<sub>2</sub>AlNb合金粉末冶金构件应用的实例,发展粉末Ti<sub>2</sub>AlNb合金+热机械加工可能得到性能更加优越、尺寸更大的构件。本文采用Gleeble-3800热模拟试验机对粉末Ti<sub>2</sub>AlNb合金和熔铸变形Ti<sub>2</sub>AlNb合金的高温流变行为和变形能力进行比较研究。结合Gleeble压缩实验的结果,制定适应于粉末Ti<sub>2</sub>AlNb合金变形特点的热变形工艺,锻造粉末Ti<sub>2</sub>AlNb合金热变形坯料,观察粉末坯料变形后的形貌,并测试其拉伸性能。通过热模拟压缩和实际锻造的比较结果,分析粉末Ti<sub>2</sub>AlNb合金的变形能力,为用粉末+变形工艺制备的Ti<sub>2</sub>AlNb合金的应用提供参考。

1 实验方法

用无坩埚感应熔炼超声气体雾化(EIGA)工艺制

备名义成分为Ti-22Al-24Nb-0.5Mo(原子百分数)的预合金粉末,用典型包套热等静压工艺制备粉末Ti<sub>2</sub>AlNb合金<sup>[14]</sup>。对粉末和压坯进行了化学成分的分析,氧氮氢含量在LECO公司生产的TCH600型分析仪进行,金属化学成分在PE公司生产的ICP-OES, 7300DV型分析仪进行,结果如表1。测试结果显示,气体元素的含量均保持较低水平,合金化学成分均匀,说明本研究制备的预合金粉末和合金的纯净度高,合金制备工艺稳定性好。

表2列出了本文三种Ti<sub>2</sub>AlNb合金的制备方法和对应的名称。采用980℃/2 h/AC+900℃/24 h/AC制度对粉末Ti<sub>2</sub>AlNb合金进行热处理,制备出热处理态的粉末Ti<sub>2</sub>AlNb合金。采用真空自耗熔炼制备了Ti<sub>2</sub>AlNb熔铸合金,在两相区锻造制备出熔铸Ti<sub>2</sub>AlNb合金。

采用JSM-6301F扫描电子显微镜观察了三种Ti<sub>2</sub>AlNb合金的初始显微组织,如图1所示。采用热等静压工艺制备的Ti<sub>2</sub>AlNb合金为典型的双态组织,主要由黑色的α<sub>2</sub>相和灰色的O相组成,分布均匀;热

表1 Ti<sub>2</sub>AlNb预合金粉末和合金坯料的化学成分

Table 1 Chemical composition of Ti<sub>2</sub>AlNb pre-alloyed powder and PM alloy in this study (% , mass fraction)

Samples	O	N	H	Ar	Al	Nb	Mo	Ti
Powder	0.069	0.0080	0.0050	<0.0001	10.4	41.0	0.90	Bal.
PM alloy	0.068	0.014	0.0025	<0.0001	10.6	41.3	0.90	Bal.

表2 三种Ti<sub>2</sub>AlNb合金及制备方法

Table 2 Three kinds of Ti<sub>2</sub>AlNb alloy and preparation method respectively

Items	Preparation method
HIPed	Hot isostatic pressing
HIPed+HT	980℃/2 h/AC+900℃/24 h/AC heat treatment after hot isostatic pressing
Wrought	Forging in duplex phase field after casting

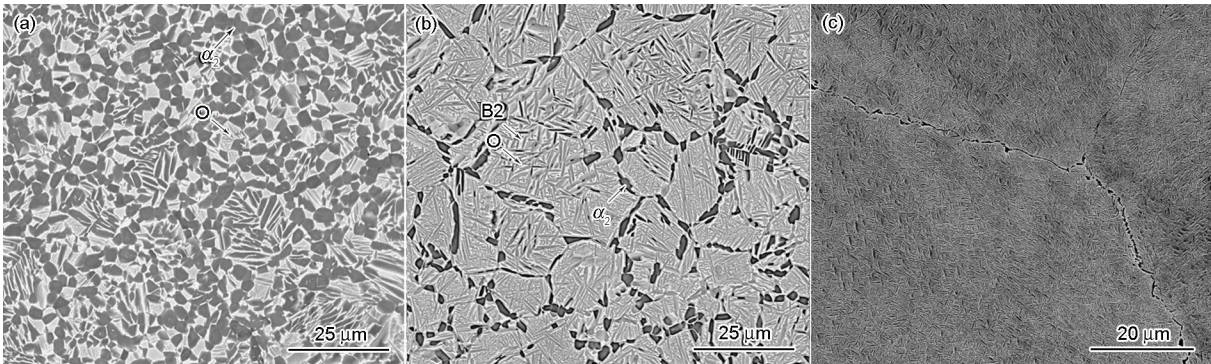


图1 三种状态样品的显微组织

Fig.1 Microstructure of Ti<sub>2</sub>AlNb alloy, (a) HIPed, (b) HIPed+HT, (c) wrought processed

chinaXiv:202303.00281v1

处理后, 粉末 Ti<sub>2</sub>AlNb 合金中的 B2 相析出, 晶粒内灰色的 O 相和白色的 B2 相呈针状交替分布, 晶界处为黑色的  $\alpha_2$  相, 晶粒尺寸在 20~30  $\mu\text{m}$ ; 熔铸态合金主要由大的 B2 相晶粒组成, 与热处理态近似, 也是典型的魏氏组织, 晶粒尺寸在 100~200  $\mu\text{m}$ 。

Gleeble 热压缩实验是一种研究材料变形机理的常用手段<sup>[15, 16]</sup>, 本文根据熔铸 Ti<sub>2</sub>AlNb 合金的锻造温度, 设计出 Gleeble 实验的变形温度为 930°C~1050°C, 位于 Ti<sub>2</sub>AlNb 合金的三相区和两相区内。采用 Gleeble-3800 热模拟试验机对三种状态的样品进行高温压缩实验, 样品为直径 8 mm 长度 10 mm 的圆柱, 变形速率分别为 0.001, 0.01, 0.1, 1, 10 s<sup>-1</sup>, 变形温度为 930, 980, 1005, 1030, 1050°C。升温速率 5°C/s, 到温后保温 3 min 开始变形, 样品均不加包套, 底面涂以石墨并加盖钼片, 最终工程应变量约 50%。

实际锻造中合金构件的尺寸大且处于大气中, 坯料温降难以避免, 本文结合已有的 Gleeble 压缩实验结果, 制定了适用于粉末 Ti<sub>2</sub>AlNb 热变形坯料的锻造工艺。采用相同的热等静压工艺制备直径 50 mm 长度 85 mm 的粉末 Ti<sub>2</sub>AlNb 变形坯料。采用包套锻造工艺将坯料锻造至不同变形量, 将变形后的样品沿中心轴线切开, 采用 Canon-Scan D1230U 型扫描仪观察低倍形貌。

对未变形经热处理、变形后的和变形后经热处理的粉末 Ti<sub>2</sub>AlNb 合金, 均取样测试室温、高温拉伸性能, 拉伸样品尺寸为 M6 $\times\phi$ 3 mm, 工作段标距 15 mm。室温拉伸在 Zwick/Roell-Z050 试验机上进行, 650°C 高温拉伸在 MTS E45.105 试验机上进行。

## 2 结果与讨论

### 2.1 压缩实验结果分析

**2.1.1 变形行为和应力水平分析** 为了比较三种状态 Ti<sub>2</sub>AlNb 合金的变形行为, 选取了应变速率为 0.1 s<sup>-1</sup> 时, 不同温度下的应力应变曲线作图。从图 2 可见, 三种状态 Ti<sub>2</sub>AlNb 合金的高温流变行为相似。即随着应变量的增加应力在很低的变形量下达到峰值, 然后出现不连续屈服的特征, 在变形温度较低时尤为明显, 当真应变大于 0.2 时应力水平趋于平缓。另一方面, 三种状态的 Ti<sub>2</sub>AlNb 合金在接近相变点温度的应力应变曲线都出现了应力水平的“反弹”。对于一般材料, 温度升高时位错更容易开动, 变形所需的能量更低, 因此变形抗力会随着变形温度的增加而下降。但是从图 2 中的三组曲线能观察到, 在 Ti<sub>2</sub>AlNb 合金的相变点附近的 980°C 时的峰值应力低于温度为 1005°C 的峰值应力, 1030°C 的流变

应力整体较 1050°C 时的为低。其原因是, 合金的相变是材料结构对热的响应, 而在 Gleeble 压缩过程中 Ti<sub>2</sub>AlNb 样品在绝热条件下经受力变形, 应力能诱发局部升温 and 相转变<sup>[17]</sup>。

图 3 给出了应变速率为 0.1 s<sup>-1</sup>, 温度为 1005°C 和 1030°C 时三种状态 Ti<sub>2</sub>AlNb 合金的应力应变曲线比较, 变形参数与实际 Ti<sub>2</sub>AlNb 锻造工艺接近。从图 3 可见, 三种状态 Ti<sub>2</sub>AlNb 合金的应力应变曲线没有显著差别。在温度为 1005°C 时三种状态的峰值应力接近, 随着变形量的增加变形态合金的应力水平最

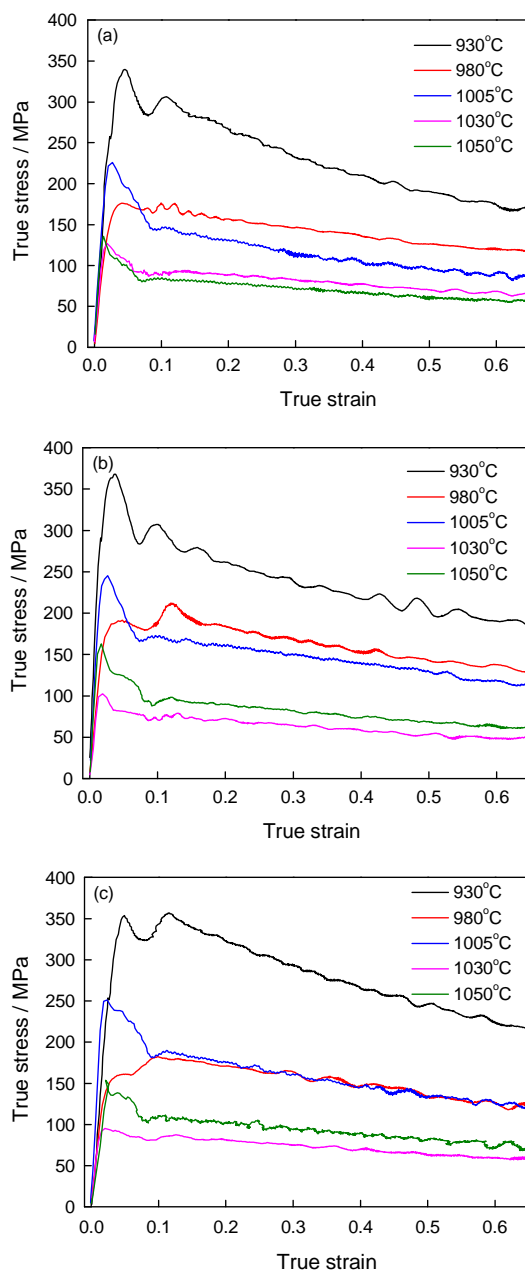


图 2  $\dot{\epsilon}=0.1 \text{ s}^{-1}$  下三种状态 Ti<sub>2</sub>AlNb 不同温度下的应力应变曲线

Fig.2 Stress-strain curves of Ti<sub>2</sub>AlNb alloy at different temperature at  $\dot{\epsilon}=0.1 \text{ s}^{-1}$ , (a) HIPed, (b) HIPed+HT, (c) wrought

高,略高于粉末热等静压态,在真应变大于0.3时整体比热处理态高出约50 MPa;在温度为1030℃时热处理态的样品显示出最高的应力水平,而变形态样品的曲线介于两种粉末合金样品的曲线中间。

表3列出了不同变形条件下三种状态样品峰值应力的统计,也说明三种状态Ti<sub>2</sub>AlNb合金变形行为相似。结果表明,三种状态Ti<sub>2</sub>AlNb合金的峰值应力无明显差别。特别是在高温和低应变速率(如1050℃,0.001 s<sup>-1</sup>)条件下应力水平非常接近,在低温和高应变速率(如930℃,10 s<sup>-1</sup>)条件下粉末态(HIPed, HIPed+HT)的应力水平低于变形态。

在930℃,应变速率大于0.1 s<sup>-1</sup>压缩试验后观察样品的形貌发现,粉末Ti<sub>2</sub>AlNb合金表面完整光滑,而熔铸Ti<sub>2</sub>AlNb合金样品的侧面产生了褶皱。增加一组Gleeble压缩实验,将变形温度降低至830℃,应变速率为0.1 s<sup>-1</sup>时变形后的宏观形貌如图4。Gleeble压缩实验均未加包套,可以看出,此时的粉末态Ti<sub>2</sub>AlNb合金变形后的表面仍然完好,而熔铸态Ti<sub>2</sub>AlNb合金发生明显开裂。分析原因可能是由于热等静压制备的Ti<sub>2</sub>AlNb晶粒细小,成分均匀,各向同性使得粉末Ti<sub>2</sub>AlNb合金在经受变形时,内部的协调变形能力更强。

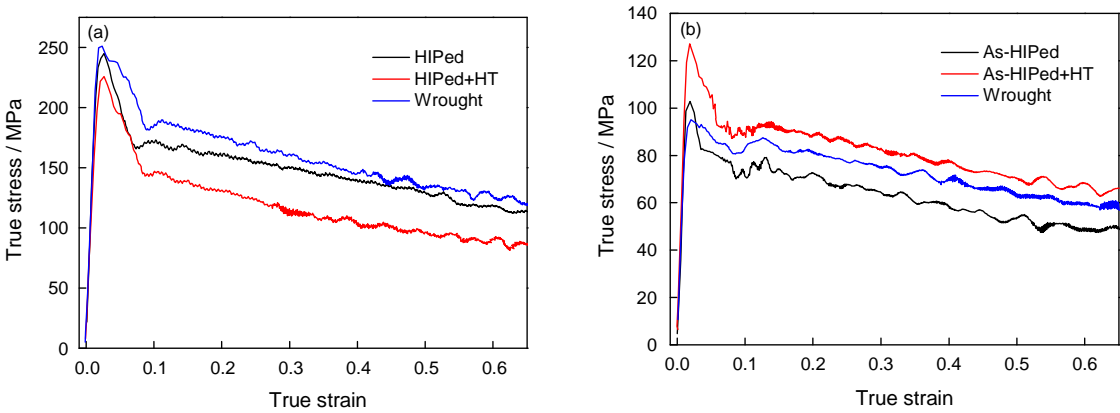


图3 在 $\dot{\epsilon}=0.1\text{s}^{-1}$ ,  $T=1005, 1030^\circ\text{C}$ 条件下三种状态Ti<sub>2</sub>AlNb合金的应力应变曲线比较  
Fig.3 Stress-strain curves of three kinds of Ti<sub>2</sub>AlNb alloy at 0.1 s<sup>-1</sup> strain rate, (a) 1005°C, (b) 1030°C

表3 不同变形条件下三种状态Ti<sub>2</sub>AlNb的峰值应力

Table 3 Peak stress of Ti<sub>2</sub>AlNb alloys from different preparation route at various deformation conditions (MPa)

Temperature/°C	Type	Strain rate/s <sup>-1</sup>				
		0.001	0.01	0.1	1	10
930	HIPed	143	248	363	562	580
	HIPed+HT	168	248	338	345	591
	Wrought	146	288	353	603	668
980	HIPed	60	168	212	255	396
	HIPed+HT	71	131	176	258	387
	Wrought	49	172	182	222	492
1005	HIPed	59	141	245	310	365
	HIPed+HT	50	139	225	310	416
	Wrought	54	149	251	337	388
1030	HIPed	46	90	102	147	325
	HIPed+HT	38	106	127	215	226
	Wrought	43	95	95	154	272
1050	HIPed	31	80	160	201	290
	HIPed+HT	32	81	135	181	274
	Wrought	31	103	153	223	283

chinaXiv:202303.00281v1

2.1.2 热激活能的比较 材料的热变形是一个应变硬化和动态软化逐渐平衡的过程, 除上述提到的应变速率、温度等因素会影响流变应力 $\sigma$ , 热激活能 $Q$ 也是分析和评价金属材料热变形性能的主要手段之一, 能较真实反映材料的塑性变形能力<sup>[18]</sup>。对 Arrhenius 方程做近似处理, 稳态流变应力和应变速率的关系为

$$\dot{\epsilon} = A\sigma^n \exp[-Q/(RT)] \quad (1)$$

将(1)式两边取对数, 并假设热激活能 $Q$ 值与温度无关, 得到

$$\ln \dot{\epsilon} = \ln A + n \ln \sigma - Q/(RT) \quad (2)$$

分别在恒定的温度下对应变速率偏微分和在恒定的应变速率下对 $1/T$ 偏微分, 得到计算 $Q$ 值的近似公式

$$Q = R [\partial \ln \dot{\epsilon} / \partial \ln \sigma]_T [\partial \ln \sigma / \partial (1/T)]_{\dot{\epsilon}} \quad (3)$$

其中 $\sigma$ 代入峰值应力,  $R$ 为理想气体常数(取 $8.314 \text{ J} \cdot \text{mol}^{-1} \cdot \text{K}^{-1}$ ), 以 Gleeble 实验得到的数据进行拟合。图 5 绘出了热等静压态和熔铸态 Ti<sub>2</sub>AlNb 合金峰值应力和温度的拟合结果, 图 6 绘出了两种状态 Ti<sub>2</sub>AlNb 合金应变速率和峰值应力的拟合结果。也

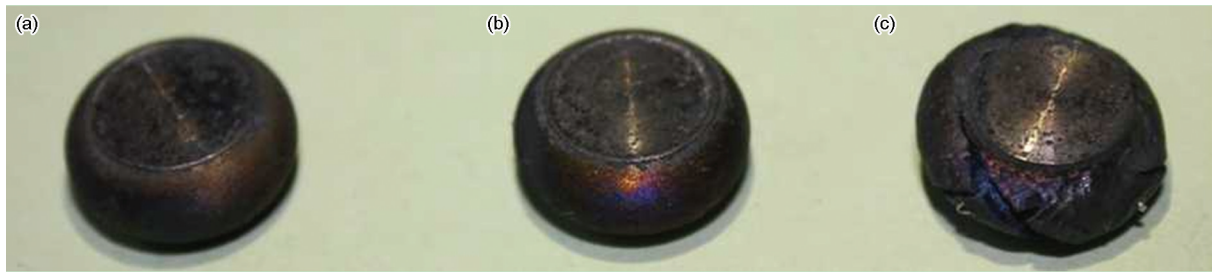


图 4 在 $\dot{\epsilon}=0.1 \text{ s}^{-1}$ ,  $T=830^\circ\text{C}$ 条件下三种状态 Ti<sub>2</sub>AlNb 合金样品压缩后的宏观形貌

Fig.4 Macrostructure of Ti<sub>2</sub>AlNb alloys after compression, (a) HIPed, (b) HIPed+HT, (c) wrought at  $\dot{\epsilon}=0.1 \text{ s}^{-1}$ ,  $830^\circ\text{C}$

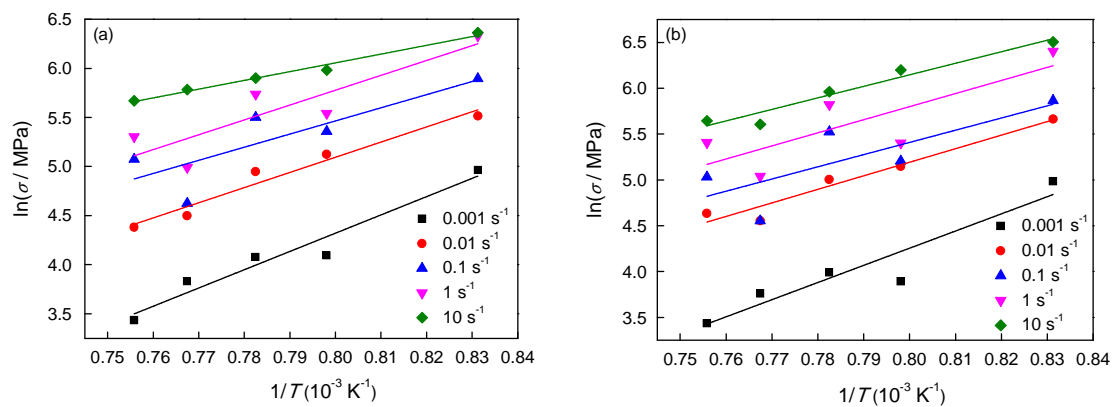


图 5 热等静压态和变形态 Ti<sub>2</sub>AlNb 合金的峰值应力和温度的关系

Fig.5 Relationship between peak stress and temperature of HIPed (a) and wrought (b) Ti<sub>2</sub>AlNb

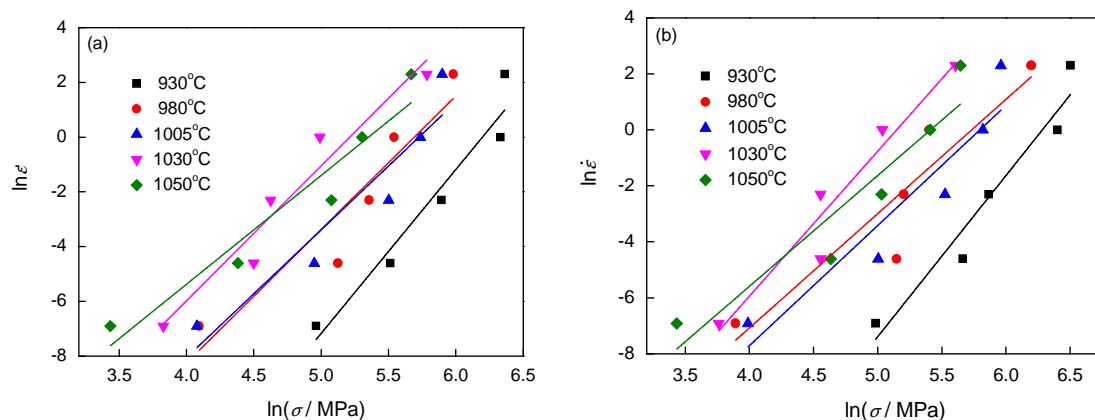


图 6 热等静压态和变形态 Ti<sub>2</sub>AlNb 合金的应变速率和峰值应力的关系

Fig.6 Relationship between strain rate and peak stress of HIPed (a) and wrought (b) Ti<sub>2</sub>AlNb

可以得到热等静压+热处理态的类似结果。

将得到的线性拟合结果代入(3)式中,得到三种状态样品变形激活能 $Q$ 值。表4列出了本次实验得到的 $\text{Ti}_2\text{AlNb}$ 两相区热激活能结果,并与其他研究者所得结果进行了比较。文献[4]针对在单相区开坯后的熔铸 $\text{Ti-22Al-25Nb}$ 合金,计算出两相区的热激活能为 $436.2\text{ kJ}\cdot\text{mol}^{-1}$ 。文献[19]针对热压法制备的 $\text{Ti-22Al-25Nb}$ 合金,计算得到两相区激活能为 $734.8\text{ kJ}\cdot\text{mol}^{-1}$ 。通过比较可以发现,本文用热等静压法制备的粉末 $\text{Ti-22Al-24Nb-0.5Mo}$ 合金的热激活能与熔铸态的近似,整体与熔铸 $\text{Ti-22Al-25Nb}$ 合金接近,低于热压 $\text{Ti-22Al-25Nb}$ 合金。热压烧结也是粉末冶金的一种,但是制备工艺不同。用热压法得到的 $\text{Ti}_2\text{AlNb}$ 合金与热等静压制备的 $\text{Ti}_2\text{AlNb}$ 合金在显微组织上相差较大,可能是导致这种差别的原因。

对应力应变曲线和热激活能的分析结果表明,粉末 $\text{Ti}_2\text{AlNb}$ 合金与变形态 $\text{Ti}_2\text{AlNb}$ 合金具有相当的变形能力,粉末 $\text{Ti}_2\text{AlNb}$ 在变形前是否进行热处理对变形行为没有明显影响。目前针对熔铸 $\text{Ti}_2\text{AlNb}$ 开坯后的锻造变形参数研究较多,由此制备的性能优良的棒材或板材已经得到初步应用<sup>[20-22]</sup>。因此本文比较了Gleeble压缩实验的结果,从理论上增加了对粉末 $\text{Ti}_2\text{AlNb}$ 合金变形的可行性认识。

2.2 粉末热变形坯料的锻造结果分析

2.2.1 变形后的形貌观察 图7给出了变形量为50%的墩粗饼坯(图7a)和经一墩一拔累积变形量约75%的饼坯(图7b)的低倍形貌。可以看到,直接锻压至50%变形量的粉末 $\text{Ti}_2\text{AlNb}$ 合金与包套衔接紧密,形貌完整,无任何裂纹;经一墩一拔的饼坯(累积变形超过75%),内部形貌完整光滑,也没有开裂。这表明,本文制备的粉末 $\text{Ti}_2\text{AlNb}$ 合金坯料质量稳定可靠,Gleeble压缩实验结果具有参考价值,在制定的变形条件下粉末 $\text{Ti}_2\text{AlNb}$ 合金具有良好的协调变形能力,具有变形潜力。

2.2.2 变形后的力学性能 粉末 $\text{Ti}_2\text{AlNb}$ 热变形坯料在变形后(Deformed)和变形后经热处理(Deformed+HT)的室温和 $650^\circ\text{C}$ 力学性能,与未变形经热处理(HT)的合金比较,如图8所示。比较变形态和变形经热处理态的拉伸结果,发现粉末 $\text{Ti}_2\text{AlNb}$ 合

金变形后的拉伸强度非常高,但室温和高温塑性较差,经过热处理后粉末变形 $\text{Ti}_2\text{AlNb}$ 合金的室高温拉伸塑性显著提升。热处理能改善 $\text{Ti}_2\text{AlNb}$ 粉末合金或铸造变形合金拉伸性能<sup>[14, 23]</sup>,因为粉末 $\text{Ti}_2\text{AlNb}$ 合金的性能对相组成更加敏感,而制粉过程中积累的不稳定化学势又难以在热等静压中消除,因此,热处理是获得高性能粉末 $\text{Ti}_2\text{AlNb}$ 合金构件的必要手段。

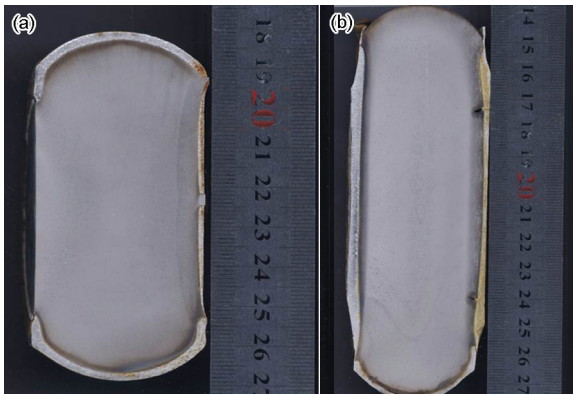


图7 粉末 $\text{Ti}_2\text{AlNb}$ 热变形坯料变形后的低倍形貌  
Fig.7 Images of PM  $\text{Ti}_2\text{AlNb}$  billets after different deformation, upset to 50% reduction (a), upset and drawn out about 75% total deformation (b)

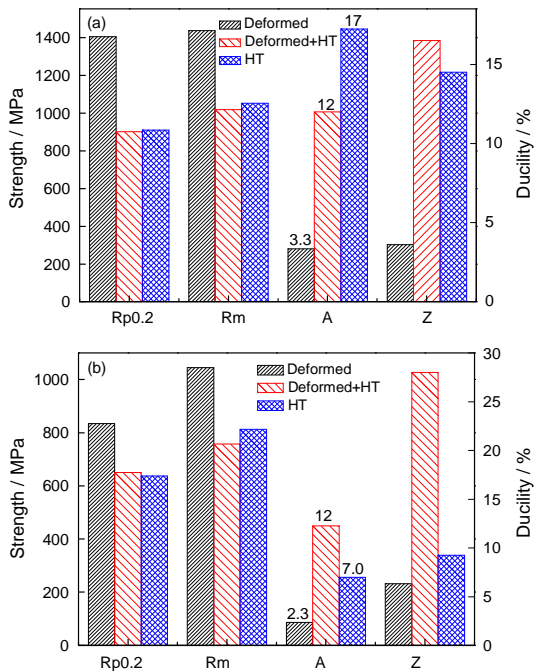


图8 三种粉末 $\text{Ti}_2\text{AlNb}$ 合金的拉伸性能比较  
Fig.8 Comparison of tensile properties of three kinds of PM  $\text{Ti}_2\text{AlNb}$  alloys, (a)  $20^\circ\text{C}$ , (b)  $650^\circ\text{C}$

表4 几种不同状态 $\text{Ti}_2\text{AlNb}$ 合金的热激活能  
Table 4 Thermal activation energy of several kinds of  $\text{Ti}_2\text{AlNb}$  alloy

Type	HIPed	HIPed+HT	Wrought	Wrought <sup>[4]</sup>	HPed <sup>[19]</sup>
$Q/\text{kJ}\cdot\text{mol}^{-1}$	538.2	493.6	547.7	436.2	734.8

图8给出了变形后经热处理和未变形经热处理的拉伸结果。结果表明,两种状态粉末 Ti<sub>2</sub>AlNb 合金的屈服强度和抗拉强度比较接近;变形后经热处理粉末 Ti<sub>2</sub>AlNb 合金的室温塑性下降,但是高温塑性提高,室温和高温延伸率均超过 10%, 塑形储备均较高。说明变形能够改善粉末 Ti<sub>2</sub>AlNb 合金的拉伸性能,可能与热机械过程能够愈合缺陷有关,使变形后的粉末合金表现更加稳定。

### 3 结 论

1. 使用预合金粉末热等静压工艺制备的粉末 Ti-22Al-24Nb-0.5Mo 合金,两种典型工艺下的 Ti<sub>2</sub>AlNb 合金变形行为近似,变形抗力相当,热激活能接近。在 Gleeble 热模拟条件下,粉末 Ti<sub>2</sub>AlNb 合金的热加工窗口更宽,可承受更低的加工温度和更高的应变速率而不开裂。

2. 根据本文制定的适用于粉末 Ti-22Al-24Nb-0.5Mo 合金的热机械加工参数,坯料经过墩粗(~50%变形量)或一墩一拔(~75%变形量)变形后,样品表面和内部均未出现开裂,变形后的高温拉伸塑性显著提高,性能更加稳定,表明粉末 Ti-22Al-24Nb-0.5Mo 合金具有良好的热变形能力。

### 参 考 文 献

- 1 D. Banerjee, A. K. Gogia, T. K. Nandy, V. A. Joshi, A new ordered orthorhombic phase in a Ti<sub>3</sub>Al-Nb alloy, *Acta Metallurgica*, **36**(4), 871(1988)
- 2 FENG Aihan, LI Bobo, SHEN Jun, Recent advances on Ti<sub>2</sub>AlNb-based alloys, *Journal of Materials and Metallurgy*, **10**(1), 34(2011)  
(冯艾寒, 李渤渤, 沈 军, Ti<sub>2</sub>AlNb 基合金的研究进展, *材料与冶金学报*, **10**(1), 30(2011))
- 3 ZHANG Jianwei, LI Shiqiong, LIANG Xiaobo, CHENG Yunjun, Research and application of Ti<sub>3</sub>Al and Ti<sub>2</sub>AlNb based alloys, *The Chinese Journal of Nonferrous Metals*, **20**(special 1), s338(2010)  
(张建伟, 李世琼, 梁晓波, 程云君, Ti<sub>3</sub>Al 和 Ti<sub>2</sub>AlNb 基合金的研究与应用, *中国有色金属学报*, **20**(special 1), s338(2010))
- 4 Ma X, Zeng W D, Xu B, Sun Y, Xue C, Han Y F, Characterization of the hot deformation behavior of a Ti-22Al-25Nb alloy using processing maps based on the Murty criterion, *Intermetallics*, **20**, 1 (2012)
- 5 Wang Y, Lu B, Yang R, Han X D, Ren P, Local deformation and processing maps of Ti-24Al-17Nb-0.5Mo alloy, *Acta Metallurgica Sinica (English Letters)*, **25**(2), 95(2012)
- 6 CHENG Jun, MAO Yong, YU Zhentao, NIU Jinlong, YU Sen, MA Xiqun, LIU Shaohui, NIU Hongzhi, Research on flow stress behavior and microstructure evolution during hot compression of Ti-22Al-14Nb-2Mo-1Fe alloy, *Titanium*, **31**(3), 26(2014)  
(程 军, 毛 勇, 于振涛, 牛金龙, 余 森, 麻西群, 刘少辉, 牛红志, Ti-25Al-14Nb-2Mo-1Fe 合金热压缩变形流变应力行为与微观组织演变的研究, *钛工业进展*, **31**(3), 26(2014))
- 7 ZENG Weidong, XU Bin, HE Dehua, LIANG Xiaobo, LI Shiqiong, ZHANG Jianwei, ZHOU Yigang, Hot deformation characteristics of Ti-22Al-25Nb alloy using processing maps, *Rare Metal Materials and Engineering*, **136**(4), 592(2007)  
(曾卫东, 徐 斌, 何德华, 梁晓波, 李世琼, 张建伟, 周义刚, 应用加工图理论研究 Ti<sub>2</sub>AlNb 基合金的高温变形特性, *稀有金属材料与工程*, **136**(4), 592(2007))
- 8 N. L. Loh, K. Y. Sia, An overview of hot isostatic pressing, *Journal of Materials Processing Technology*, **30**, 45(1992)
- 9 Youngmoo Kim, Eun-Pyo Kim, Joon-Woong Noh, Sung Ho Lee, Young-Sam Kwon, In Seok Oh, Fabrication and mechanical properties of powder metallurgy tantalum prepared by hot isostatic pressing, *International Journal of Refractory Metals and Hard Materials*, **48**, 211(2015)
- 10 WANG Gang, An investigation of the fabrication and high temperature deformation behavior of P/M TiAl alloys, PhD thesis, Institute of Metal Research, Chinese Academy of Sciences (2011)  
(王 刚, 粉末冶金 TiAl 合金制备及高温变形行为研究, 博士学位论文, 中国科学院金属研究所(2011))
- 11 Gerhard Wegmann, Rainer Gerling, Frank-Peter Schimansky, Temperature induced porosity in hot isostatically pressed gamma titanium aluminide alloy powders, *Acta Materialia*, **51**, 741(2003)
- 12 Xu L, Guo R P, Bai C G, Lei J F, Yang R, Effect of hot isostatic pressing conditions and cooling rate on microstructure and properties of Ti-6Al-4V alloy from atomized powder, *Journal of Materials Science and Technology*, **30**(12), 1289(2014)
- 13 Qi C, GH4169-type disk parts forging method, involves baiting GH4169-type bar prepared by cast condition or powder metallurgy process into primary bar ingot, and adding bar ingot into box type heating furnace of specific degrees centigrade, China, CN102764837-A(2013)
- 14 WU Jie, XU Lei, LU Bin, CUI Yuyou, YANG Rui, Preparation of Ti<sub>2</sub>AlNb alloy by powder metallurgy and its rupture lifetime, *Chinese Journal of Materials Research*, **28**(5), 387(2014)  
(吴 杰, 徐 磊, 卢 斌, 崔玉友, 杨 锐, 粉末冶金 Ti<sub>2</sub>AlNb 合金的制备及持久寿命, *材料研究学报*, **28**(5), 387(2014))
- 15 X. M Chen, Y. C. Lin, D. X. Wen, J. L. Zhang, M. He, Dynamic recrystallization behavior of a typical nickel-based superalloy during hot deformation, *Materials and Design*, **57**, 568(2014)
- 16 W. Q. Song, S. J. Sun, S.M. Zhu, G. Wang, J. Wang, M. S. Dargusch, Compressive deformation behavior of a near-beta titanium alloy, *Materials and Design*, **34**, 739(2012)
- 17 Myoung-Gyu Lee, Sung-Joon Kim, Heung Nam Han, Woo Chang Jeong, Application of hot press forming process to manufacture an automotive part and its finite element analysis considering phase transformation plasticity, *International Journal of Mechanical Sciences*, **51**, 888(2009)
- 18 LIU Yong, TANG Huiping, *Powder Metallurgical Titanium Base Structural Materials*, (Changsha, Central South University Press, 2010) p.296  
(刘 咏, 汤惠萍著, 粉末冶金钛基结构材料, (长沙, 中南大学出版社, 2010) p.296)
- 19 Jia J B, Zhang K F, Liu L M, Wu F Y, Hot deformation behavior

- and processing map of a powder metallurgy Ti - 22Al - 25Nb alloy, *Journal of Alloys and Compounds*, **600**, 215(2014)
- 20 J. W. Zhang, S. Q. Li, D. X. Zou, W. Q. Ma, Z. Y. Zhong, Processing and microstructure control of ( $\alpha_2$ +B2+O) alloy sheet in Ti-Al-Nb system, *Intermetallics*, **8**, 699(2000)
- 21 SHEN Jun, FENG Aihan, Recent advances on microstructural controlling and hot forming of  $\text{Ti}_2\text{AlNb}$ -based alloys, *Acta Metallurgica Sinica*, **49**(11), 1286(2013)  
(沈 军, 冯艾寒,  $\text{Ti}_2\text{AlNb}$  基合金微观组织调制及热成形研究进展, *金属学报*, **49**(11), 1286(2013))
- 22 SONG Tao, Thermal mechanical processing and mechanical properties of  $\text{Ti}_2\text{AlNb}$  based alloy, Master thesis, Institute of Metal Research, Chinese Academy of Sciences (2014)  
(宋 涛,  $\text{Ti}_2\text{AlNb}$  合金成型工艺及力学性能研究, 硕士学位论文, 中国科学院金属研究所(2014))
- 23 LU Bin, Effects of alloying on the mechanical behaviors of  $\text{Ti}_3\text{Al}$  based alloys, PhD thesis, Institute of Metal Research, Chinese Academy of Sciences (1999)  
(卢 斌, 合金化对  $\text{Ti}_3\text{Al}$  基合金力学性能的影响, 博士学位论文, 中国科学院金属研究所(1999))